

الدراسة الهيدروليكيّة لهدار جانبي يحتوي تفاصيقا  
باتجاه جريان التيار

الدكتور المهندس آسعد الكنج المهندس محمد بشار المغربي المهندس محمد عمار خوشيد  
أستاذ مساعد في جامعة تشرين

إن موضوع المقالة هو دراسة نموذج لهدار جانبي يحتوي تفاصيقاً في المجرى باتجاه التيار محاذياً لهدار .

هذا النموذج يمثل على الطبيعة موزعاً للماء على نهر بردى ( مقم بانياس ) . تضمنت المقالة ما يلي :

- ١ - وصفاً للنموذج .
- ٢ - المعادلات المستخدمة لدراسة الهدار الجانبي وصلاحيتها لمثل هذا النموذج واقتراح معادلة تُخفي هذه الحالة .
- ٣ - مناقشة النتائج .

قد تكون متغيرة بحيث يستعصي على الباحث ايجاد معادلات رياضية لوصف الجريان .

١ - موضوع الدراسة :

إن موضوع الدراسة هو دراسة نموذج لهدار جانبي يحتوي تفاصيقاً في المجرى باتجاه التيار بجانب الهدار الجانبي . هذا النوع من الهدارات يتزود إلى مسائل ثلاثة بعد ، بالإضافة إلى كون الشروط الحدية لهذا النوع من الهدارات متغيرة مما يتطلبه دون تعليم النتائج أو المعادلات إلا في حال وجود تشابه في ظروف الجرمان والشروط الحدية وكذلك في الأبعاد الهندسية كما هو الحال في موزعات نهر بردى .

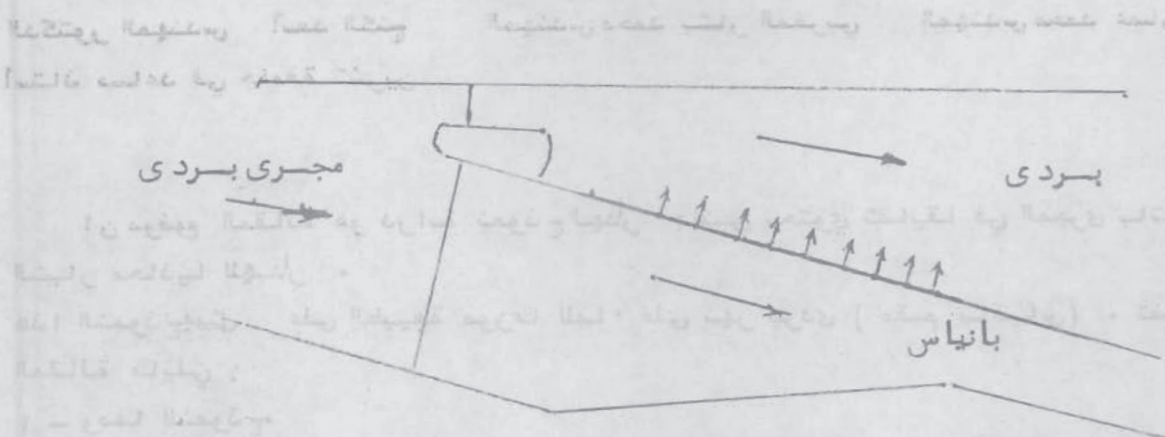
٢ - وصف الموزع - موضوع الدراسة (موزع بانياس على نهر بردى) \*

\* تم التوقيف بالاعتماد على التقرير الهيدرولوجي للنهر وعلى نسبة التقسيم بين نهر بردى وبانياس المذكورة في كتاب السيد محافظ دمشق إلى وزارة الأشغال العامة والثروة المائية بالرقم /١٠٥/ ص ٦٤ تاريخ ٢/١٨/١٩٦٥، وكذلك على المعمور العام لمدينة دمشق بمقدار ١٠٠% تاريخ ٢٦/٨/١٩٦٢ الصادر عن الدائرة الفنية في المحافظة .

يتجه علم الهيدروليكي الحديث إلى الاعتماد على الأسلوب التجاري في التوصيل إلى خواص الجريان في الأقنية المكشوفة والأنابيب والمنشآت الهيدروليكيّة بالرغم من أن البدايات الأولى لهذا العلم كانت رياضية ، إذ تجسدت في علم الهيدروديناميک النظري الذي حاول ايجاد أجوبة لكل المسائل الهيدروليكيّة ، فنجح في بعض الحالات وفشل في البعض الآخر . وبما أن عدد الحالات التي يتعدد فيها استعمال مبادئ الهيدروليكي النظري تفوق كثيراً الحالات التي يمكن استعمال تلك المبادئ فيها فإن النماذج الهيدروليكيّة والنتائج الممكن الحصول عليها مبنية تشغيلها بممثل منهاجاً تجريبياً في ميكانيك السوائل ، وهذا المنهج يتضمن زرداد الجوء إليه يوماً بعد يوم لتسجيل سلوك الجريان في منشاء صغير والتنبؤ عن سلوك الجريان في المنشاً الأصلي بناءً على قانون التشابه المسيطر لكل نموذج على حده ، كما أن الحدود الهندسية للجريان

يتفرع النهر عند موزع بانياس الى فرعين الأول هو نهر بردى والثاني فرع بانياس ونسبة التقسيم هي ٨٥٪ من الغزارة لفرع بانياس و ١٥٪ لنهر بردى . ويبين الشكل التالي مسطحاً لهذا الموزع .

تبلغ الغزارة الأعظمية في شهر بردى ٩٩ م³/ثا وتتكرر هذه الغزارة مرة كل خمسين سنة أي باحتمال ٢٪ والغازارة الصغرى التي يعرفى النهر تقدر بحوالي ٤٣ م³/ثا .



المسألة في تحديد ارتفاع وطول الهدار الجانبي الذي بواسطته يتم التخلص من فائض الغزارة المارة في فرع بانياس والبقاء على ٤ م³/ثا الى هذا الفرع .

### ٣ - تحقيق النموذج :

لاختيار نسب التشابه لابد من الأخذ بعين الاعتبار الأبعاد المتوفرة في المخبر والغازارة الأعظمية التي يمكن تأمينها وكذلك لابد من اختيار نسب

لايستوعب القناة الآخذة لمياه فرع بانياس لأكثر من ٤٣ م³/ثا وبما أن الموزع يعطي هذا الفرع ٨٥٪ من الغزارة اذن يجب التخلص من الفائض أنسنة الغزارة الأعظمية بواسطة هدار جانبي يعيد المياه الزائدة الى نهر بردى شانية . لقد درست عتبات الهدارات في مكان التوزيع بحيث تعطى النسب المطلوبة من الغزارة . تتلخص



صورة تبين جزءاً من النموذج - المفيض الجانبي

امكانية تصنيع النموذج ، حيث أن النماذج المغيرة تحتاج إلى تقنية عالية ودقة كبيرة . لقد تم تصنيع النموذج بمقاييس تشابة هندسي 1/20 وكانت الأبعاد كماليي :

النموذج	المنشأ الأصلي
١,٢٢	٢٤,٤
٠,٧٥	١٥
٠,٣٣٢	٦,٦٥
٠,٠٥	١
٠,١٠٥	٢,١
٠,٠٣٧٥	٠,٧٥

لقطة الأفقية  $1,22 \times 1$  م  $^2$  وعمقه ٠,٨ م . لقد اتسع سير العمل بعض المشاكل نورد أهمها :

آ - تشكل أمواج صادرة عن حوض التهيئة مما أدى إلى جريان غير مستقر انعكس سلبا على قراءة الارتفاعات .

ب - تغير عدد فرماود بشكل ضئيل نوعا ما بنتيجة تغير أبعاد الهدار الجانبي . استعملنا في التجارب البرامنة المائية لقياس السرع وتحديد اتجاه مركباتها وايضا استخدمنا جهاز قياس توافر التيار (ستروبوسكون) الذي يصدر أشعة فوئية لتوافرات مختلفة . ولقياس توافر موجة معينة يجب تعديل توافر الجهاز حتى يتم التوافق بين توافر الجهاز وتوافر الموجة ويبعدوا الجريان واقفا في مكانه وبنتيجة ذلك نستطيع قياس سرعة انتشار الموجة وكذلك ارتفاع الماء في النقاط المختلفة

- لقد تم اجراء عددا كبيرا من التجارب على الجريان تحت الحرج والجريان فوق الحرج وعادة يمكن أن يحصل ثلاثة أنواع من

التشابه التي تعطي ارتفاع الماء فوق الهدار بحيث يكون أكبر من ٢,٥ سم على الأقل وذلك للتخلص أو للحد بقدر الإمكان من تأثير قوى التوتر السطحي وكذلك

عرض مجاري بردى قبل التوزيع طول عتبة فرع بانياس (عرض فرع بانياس في مكان التوزيع )

طول عتبة مجاري بردى (في مكان التوزيع) عرض مقطع العتبات (هدارات في مكان التوزيع )

ارتفاع الماء قبل التوزيع ارتفاع عتبة الهدار الجانبي فوق الأرضية

ان قيمة عدد فرماود  $F = 0,58$  في كل من النموذج والمنشأ الأعلى والجريان يوافق جريان تحت حرج .

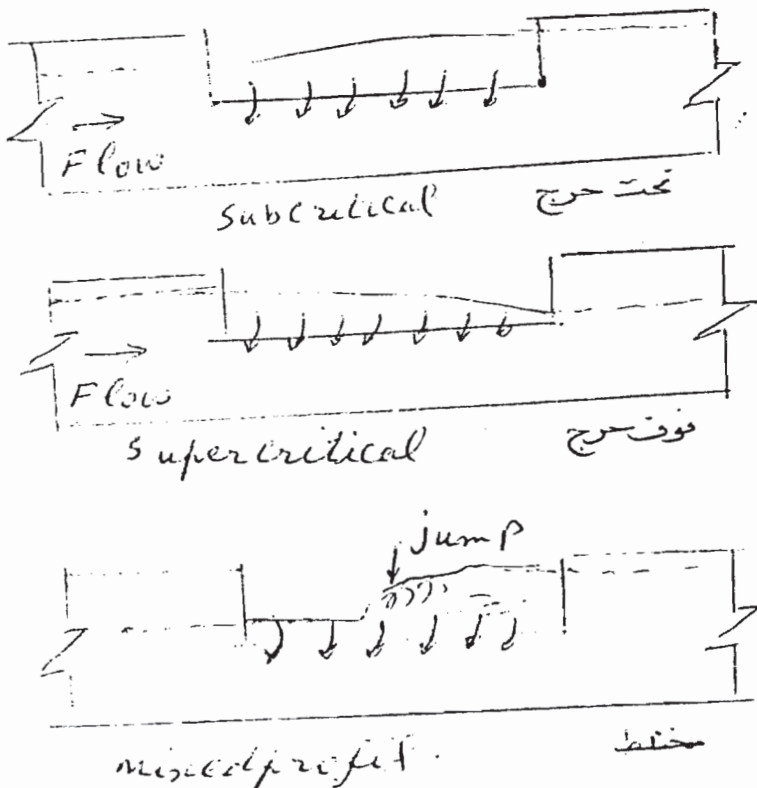
فرق المنسوب بين قاع مجاري بردى قبل التوزيع ومجاري بانياس بعد التوزيع يعاد ب ١٠ سم ويقابل انخفاض في النموذج مقداره ٠,٥ سم .

وفرق في المنسوب بين مجاري بردى قبل التوزيع ونهر بردى بعد التوزيع مقداره ١,٤٤ م ويقابل فرق منسوب ٧,٢ سم في النموذج ، وفرق في المنسوب بين قاع بانياس وقاع بردى بعد التوزيع يقابل في النموذج ٦,٧ سم .

أما بالنسبة للميل الطولانية فميل بانياس ٠,٠٠١٩ ومجاري بردى بعد التوزيع ٠,٠٠٣٥ لكن لاستحالة اعطاء هذه الميل في النموذج فقد أعطينا ميلا واحدا مع تحقيق الميل في النهر قبل التوزيع .

٤ - تشغيل النموذج : لقد تم وصل النموذج في بدايته (قبل التوزيع) مع حوض تهيئة أبعاده في

الجريان فوق المفيضات الجانبية. نبينها على الرسم التالي :



Typical flow profiles at side - discharge weirs

ان الجريان الحالى على الطبيعة في نهر بردى هو جريان تحت حرج لذلك اهتممنا بشكل خاص بهذا النوع من الجريان .

لقد قمنا بتعديل طول الهدار الجانبي واجراء سير للسرعة والارتفاعات على طول الهدار الجانبي وكذلك تحديد مناحي السرعة وخطوط الجريان بواسطة ملوثات لكل طول من الأطوال . وقد اعتمدنا في دراستنا على امكانية ملاءمة المعادلات التي تعالج الهدارات الجانبية بمقطع نظامي ودرسنا كل معادلة على حده .

كما قمنا بوضع معادلة بالاستناد الى التحليل البعدي تخص الحالة المدروسة .

٥ - المعادلات المستعملة لدراسة الهدار

الجانبي :

- معادلة انجل للجريان تحت الحرج (نهرى) تعطى الغزاره المارة فوق الهدار الجانبي بالمعادلة :

$$Q=0,414 \left( \frac{h}{b} \right)^{0,116} L.h. \sqrt{2gh}$$

- حيث :
- b - عرض القناة (في حال مقطع نظامي)
  - h - ارتفاع الماء فوق الهدار .
  - L - طول الهدار الجانبي .
  - معادلة الهدار عريض الحافة (المرجع رقم (١) و (٢) و (٣))
- $Q = mb \sqrt{2g} (h_m - P_0)^{3/2}$
- حيث :
- Q - الغزاره المارة فوق الهدار الجانبي
  - b - طول الهدار الجانبي .
  - $P_0$  - ارتفاع عتبة الهدار الجانبي .
  - m - معامل التدفق .
  - $h_m$  - الارتفاع الوسطي للماء فوق الهدار اعتبارا من أرضية القناة .
  - معادلة ميارشى : المرجع رقم (٤)

وهي المعادلة التي اقترحها هندرسون ووضع حلها من قبل الباحث مارشى :

بـ  $x_1$  أو  $x_2$  وهنا تكمن صعوبة حل هذا النوع من المعادلات .

تتحدد  $\alpha$  و  $\beta$  و  $\gamma$  بنتيجة حل المعادلات .

لتفرض أن  $\eta$  وهي الغزاره المارة فوق واحدة الطول للهدار الجانبي وتتبع إلى المتاحولات المستقلة التالية :

H - ارتفاع الماء الوسطي فوق الهدار الجانبي .

g - تسارع الجاذبية الأرضية .

h - ارتفاع الماء في القناة بعد الهدار الجانبي وهو يرتبط مع ارتفاع عتبة الهدار .

(f) :تابع لزاوية  $\alpha$  والتي تمثل زاوية التفايق في مجرى بانيا مقابل الهدار الجانبي .  
بالاعتماد على ما قبل أعلاه نستطيع كتابة المعادلة التالية :

$$q = K \cdot H^a \cdot g^b \cdot h^c f(\alpha)$$

ومن شرط تجانس الوحدات في الطرفين

$$L^3 \cdot T^{-1} = L^a \cdot (LT^{-2})^b \cdot L^c$$

$$3 = a + b + c$$

$$1 = 2b \Rightarrow b = \frac{1}{2}$$

نعرض عن أحد المجهولين بدالة الآخر .

$$a = 3 - \frac{1}{2} - c = \frac{5}{2} - c$$

$$q = K \cdot H^{\frac{5}{2}-c} \cdot g^{\frac{1}{2}} \cdot h^c f(\alpha)$$

$$q = K \cdot g^{\frac{1}{2}} \cdot f(\alpha) H^{5/2} \cdot \left( \frac{h}{H} \right)^c$$

وإذا أخذنا التدفق على كامل طول الهدار

$$(L) \text{ تحمل على : } Q = K \cdot L \cdot g^{\frac{1}{2}} \cdot f(\alpha) \cdot H^{5/2} \cdot \left( \frac{h}{H} \right)^c$$

وقد تم تحديد الثابت  $c$  والعامل  $K$

بعد إجراء عدة تجارب وبذلنا بقيمة

بالدرجات وبالتالي أخذت المعادلة

الشكل النهائي التالي :

$$Q = 0,13193 L \sqrt{g} \left( \frac{h}{H} \right)^{0,45} \left( \frac{H_m}{H} \right)^{5/2}$$

$$\frac{x C_1}{b} = \frac{2E-3W}{E-W} \sqrt{\frac{E-y}{y-W}} 3 \arcsin \sqrt{\frac{E-y}{y-W}} \text{ const}$$

حيث  $C_1$  تؤخذ من العلاقة  $C_1 = \frac{C}{\sqrt{2g}}$   
والثابت  $C$  يعادل تقريباً ( 4,1 )

$$E = y + \frac{V^2}{2g}$$

y - ارتفاع الماء قبل الهدار .

W - ارتفاع عتبة الهدار الجانبي فوق قعر القناة .

x - طول الهدار الجانبي .

b - عرض المقطع النظامي .

نحصل على الثابت ( const ) بالتبديل  
بقيم العوامل الداخلية في المعادلة عندما

$$x = 0$$

وتؤخذ الزوايا بالراديان .

لاحظنا أنه في هذه المعادلة تظهر بعض الصعوبات في تمييز الشروط الحدية وخاصة في حالة الجريان تحت الحرج ، فالحسابات في هذه الحالة لا تنشأ بشكل أولي من المقطع خافض التيار ( أسفله ) لأن  $q$  مجهلة في ذلك المقطع ، وإنما

استناداً إلى التحليل البعدى فلقد وضعنا  
الطريقة التالية للحساب :

ان مبدأ هذه الطريقة يعتمد على أنه  
بالإمكان إيجاد علاقة رياضية تربط بين  
عدة متاحولات على شرط أن تكون هذه  
المتاحولات مستقلة عن بعضها البعض .  
كان  
نقول مثلاً أن  $y$  يتبع إلى عدة متاحولات  
 $x_1$  و  $x_2$  و  $x_3$  مستقلة عن بعضها  
البعض وبالتالي يمكن كتابة :

$$y = K \cdot x_1^\alpha \cdot x_2^\beta \cdot x_3^\gamma$$

حيث  $K$  - ثابت يحدد تجريبياً .

وطريقة الحل تعتمد على تجانس الوحدات في  
طرفى المعادلة وتتجدر الملاحظة على أنه  
في هذه المعادلات يجب التأكد من أن هذه  
المتاحولات مستقلة فإذا كان لدينا مثلاً  
متاحولين  $x_1$  و  $x_2$  غير مستقلين فيجب  
الاستبدال بأحد هذه المتاحولات والاكتفاء

## ٧ - مناقشة النتائج .

آ - تبين أن معادلة آنجل للجريان النهري تعطي أطوالاً أكبر من الواقع ولم تستطع التعبير عن تغير الفزارة نتيجة تغير طول الهدار الجانبي ويعود السبب إلى أن هذه المعادلة وضعت أصلاً من أجل هدار جانبي بمقتضى نظامي والهدار المذكور على نهر بردى متغير المقاطع .

ب - تعطي معادلة مارشي نتائج لا تتوافق مع الواقع بشكل جيد .

ج - تعطي معادلة الهدار عريف الحافنة نتائج قريبة من الواقع نوعاً ما إلا أنها بحاجة إلى تحديد معامل التدفق بشكل دقيق وكذلكأخذ سرعة الاقتراب بعين الاعتبار والتي تمثل المركبة العمودية للسرعة في حالتنا هذه ، وكذلك لابد من الأخذ بعين الاعتبار شكل العتبة وتأثيرها على الجريان فوق الهدار .

د - معادلة التحليل البعدى: تبين أنها أعطت أدق النتائج بالنسبة لحالتنا هذه حتى أن الفروق كانت من الصفر بحيث أنه يمكن اعتبارها صحيحة بشكل كاف .

لقد تم اجراء تجارب كثيرة لأطوال مختلفة للهدار الجانبي وتم تبعاً لذلك قياس الفزارة التي يستطيع الهدار امرارها بالنسبة لطول معين ومن خلال المشاهدة والتجربة تبين أنه بعد طول معين للهدار تبقى الفزارة العارضة فوقه ثابتة أي لا تتغير بزيادة طول الهدار مع العلم أنه نظرياً يجب أن تزداد الفزارة العارضة حتى الحد الذي يصرف كامل الفزارة الفائضة ، لذلك اصطلاحنا على تسمية الطول الأصغرى الذي تبقى الفزارة بعده ثابتة ضمن المجال الفعال للهدار الجانبي . نشأت هذه الظاهرة نتيجة لوجود التفايق مما أدى إلى ازدياد السرعة بشكل تدريجي مما سبب إلى زيادة التدفق العار في التفايق وانخفاض الضاغط فوق الهدار حتى أصبح ارتفاع الماء ملائماً لارتفاع عتبة الهدار وفي هذه الحالة يستطيع الهدار الجانبي امراراً كاملاً الفزارة الفائضة المطلوب تصريفها .

ومن خلال تجربة المعادلات التي ذكرت آنفًا تبين مايلي :



صورة تمثل المجال الفعال للهدار الجانبي

الغزاره الفائضه نقترح انشاء بوابه  
تنظيميه (طارد) على مسافة 100 م من  
نهاية الهدار حيث تستعمل عند الغزاره  
الأعظميه .

لكن كما ذكرنا سابقاً بأن هناك حدود  
يجب مراعاتها عند حساب طول الهدار  
اللازم لامرار الغزاره الأعظميه الفائضه  
بحيث يكون هذا الطول ضمن المجال الفعال  
للهدار .

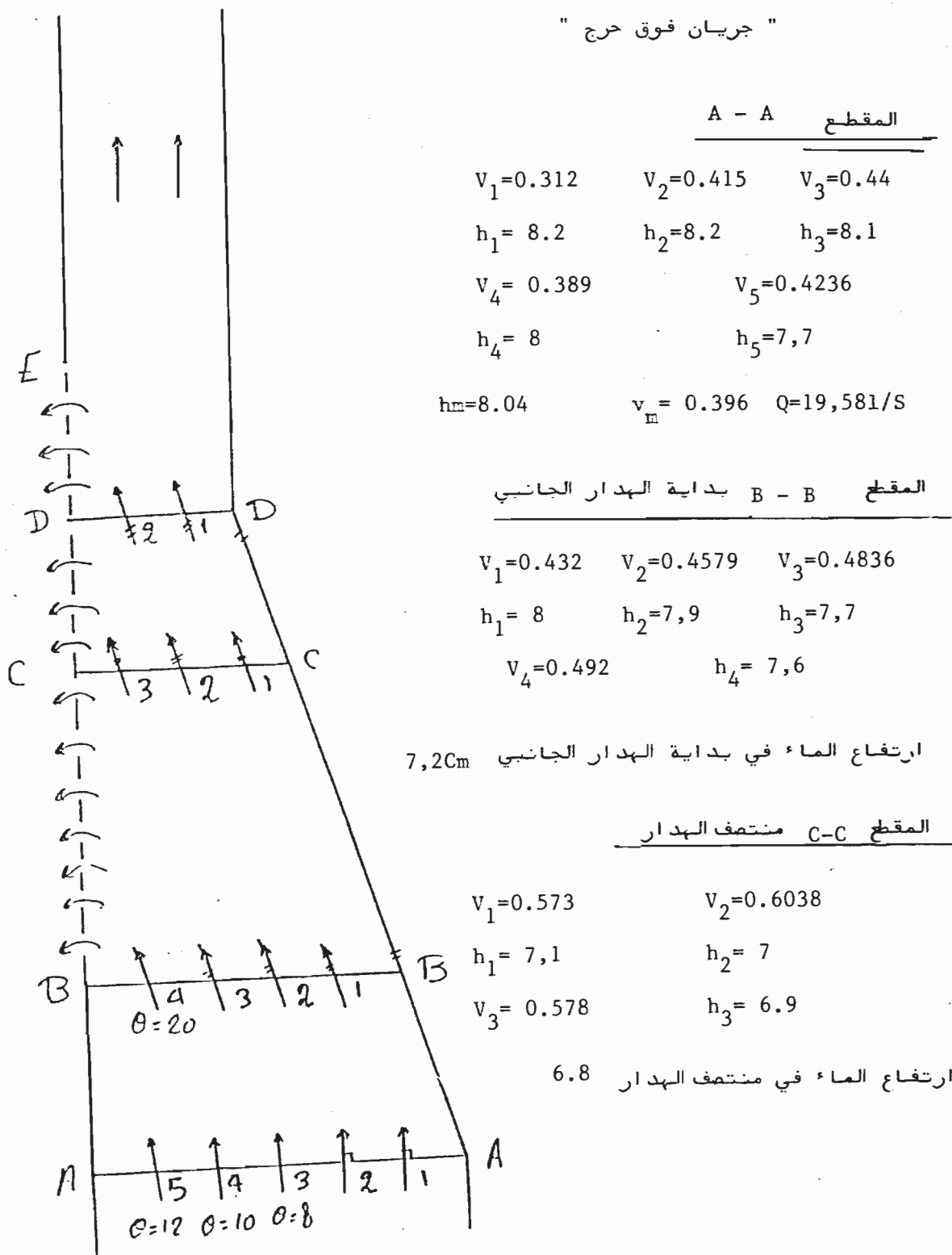
لقد اقتربنا طولاً للهدار يساوي الى  
المجال الفعال و مقداره على الطبيعة 32 م  
ونظراً لعدم كفاية هذا الطول لتحرير

نرافق مع المقال ملحقاً يتضمن بعض التجارب والتي تتضمن نوعين من الجريان  
١ - جريان فوق حرج  
٢ - جريان تحت حرج

ملحق " نتائج بعض التجارب الخاصة بالبحث "

طول الهدار  $100 \text{ cm}$  ارتفاع العتبة  $3.75 \text{ cm}$

" جريان فوق حرج "



$$v_1 = 0.61246 \quad v_2 = 0.59525$$

$$h_1 = 5,8 \text{ cm} \quad h_2 = 6 \text{ cm}$$

ارتفاع الماء في نهاية الهدار 6,1 cm

في نهاية قناة بانيان وبعد مسافة تساوي  
الهيدروليكي  $R$  تعبّر عن القطر

$$v_m = 0.632 \quad h_m = 6.033$$

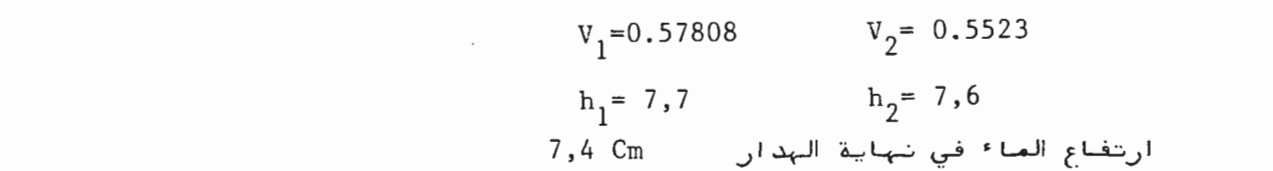
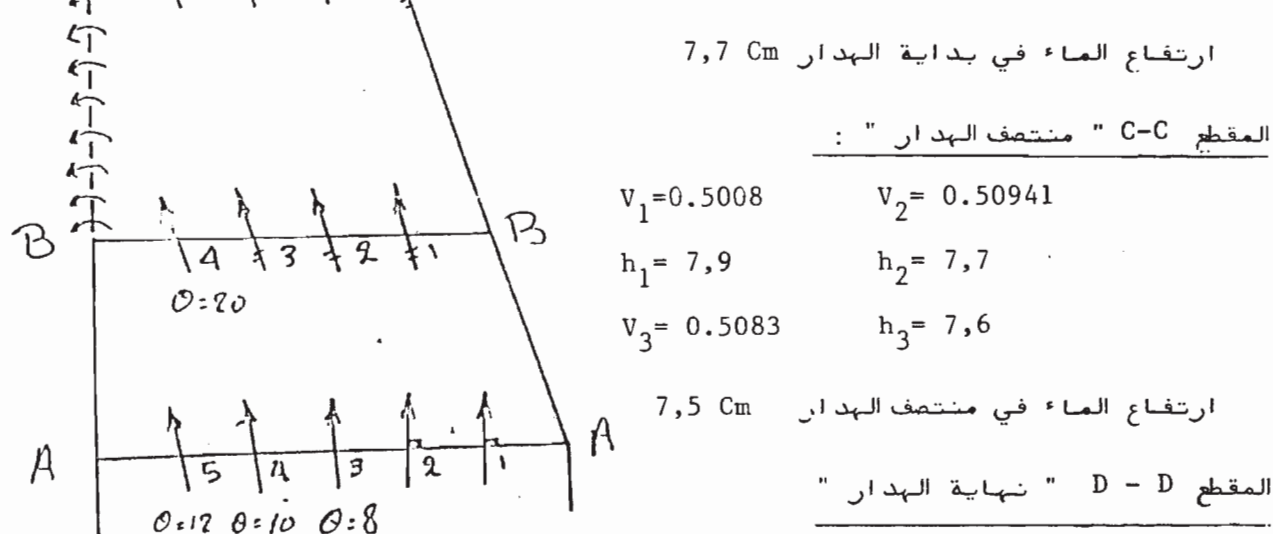
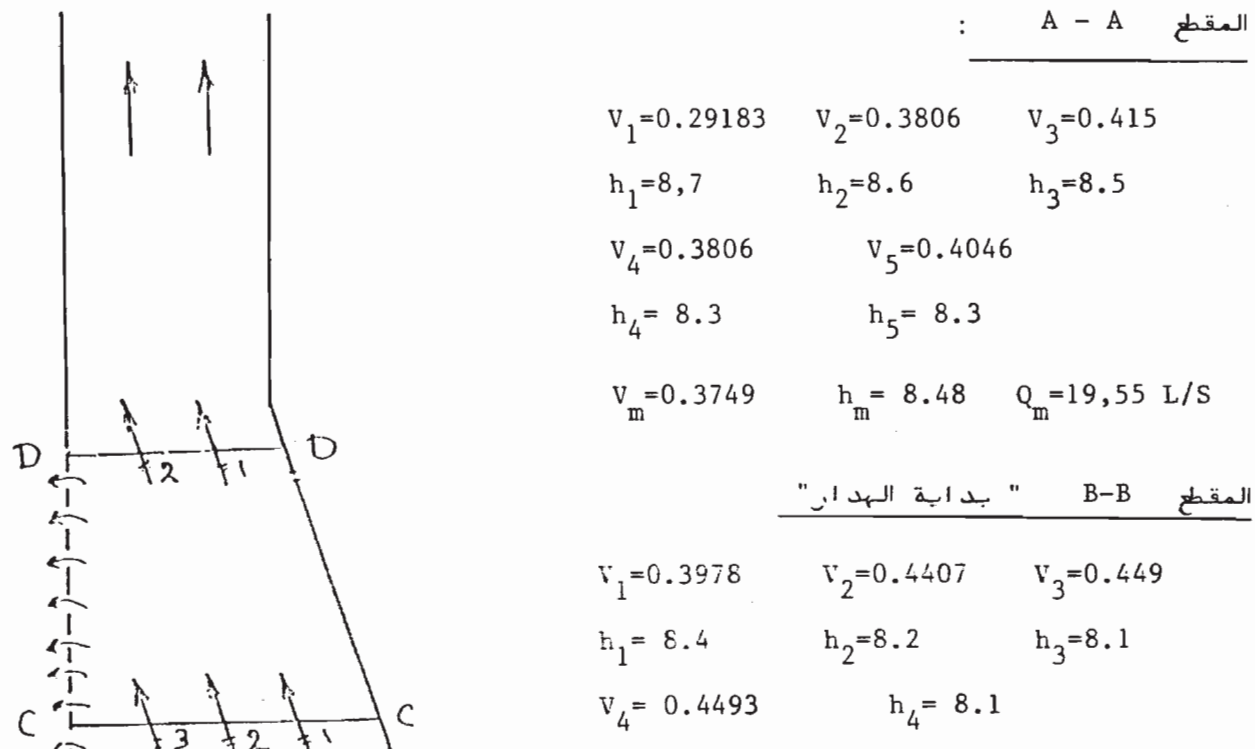
$$Q_m = 9,531 / \text{Sec}$$

الغزارة المطرودة بواسطة الهدار الجانبي

$$Q = 10.05 \text{ l/Sec}$$

" جريان فوق حرج "

طول الهدار الجانبي 70cm وارتفاع العتبة 3.75



نهاية القناة :

$v_m = 0.6467$        $h_m = 6.4$        $Q_m = 10.34 \text{ L/S}$

$Q = 9,21 \text{ L/S}$  فوق الهدار

" جريان فوق حرج "

طول الهدار 150Cm ارتفاع العتبة 3.75Cm

المقطع A - A

$$V_1 = 0.4235 \quad V_2 = 0.4579 \quad V_3 = 0.5008$$

$$h_1 = 9,6 \quad h_2 = 9,5 \quad h_3 = 9,4$$

$$V_4 = 0.4708 \quad V_5 = 0.4922$$

$$h_4 = 9,3 \quad h_5 = 9,2$$

$$h_m = 9,4 \quad V_m = 0.4699 \quad Q = 27,167 \text{ L/S}$$

المقطع "B - E" بدأية الهدار

$$V_1 = 0.4836 \quad V_2 = 0.50941 \quad V_3 = 0.53516$$

$$h_1 = 9,3 \quad h_2 = 9,2 \quad h_3 = 8,8$$

$$V_4 = 0.518 \quad h_4 = 8,6$$

ارتفاع الماء في بدأية الهدار 8,30m

المقطع D-D مستتص الهدار :

$$V_1 = 0.6896 \quad V_2 = 7154$$

$$h_1 = 7,6 \quad h_2 = 7,5$$

ارتفاع الماء عند نهاية الهدار 7,4 Cm

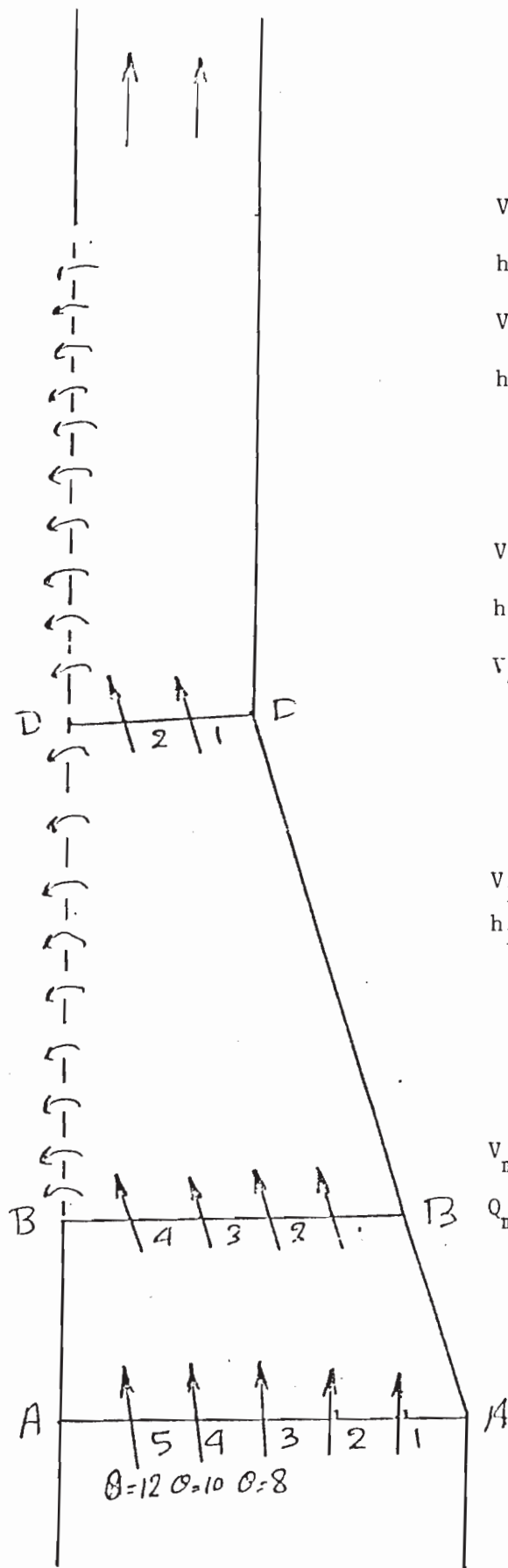
المنطقة الفعالة بطول 120Cm

نهاية القناة :

$$V_m = 0.6868 \quad h_m = 6,33$$

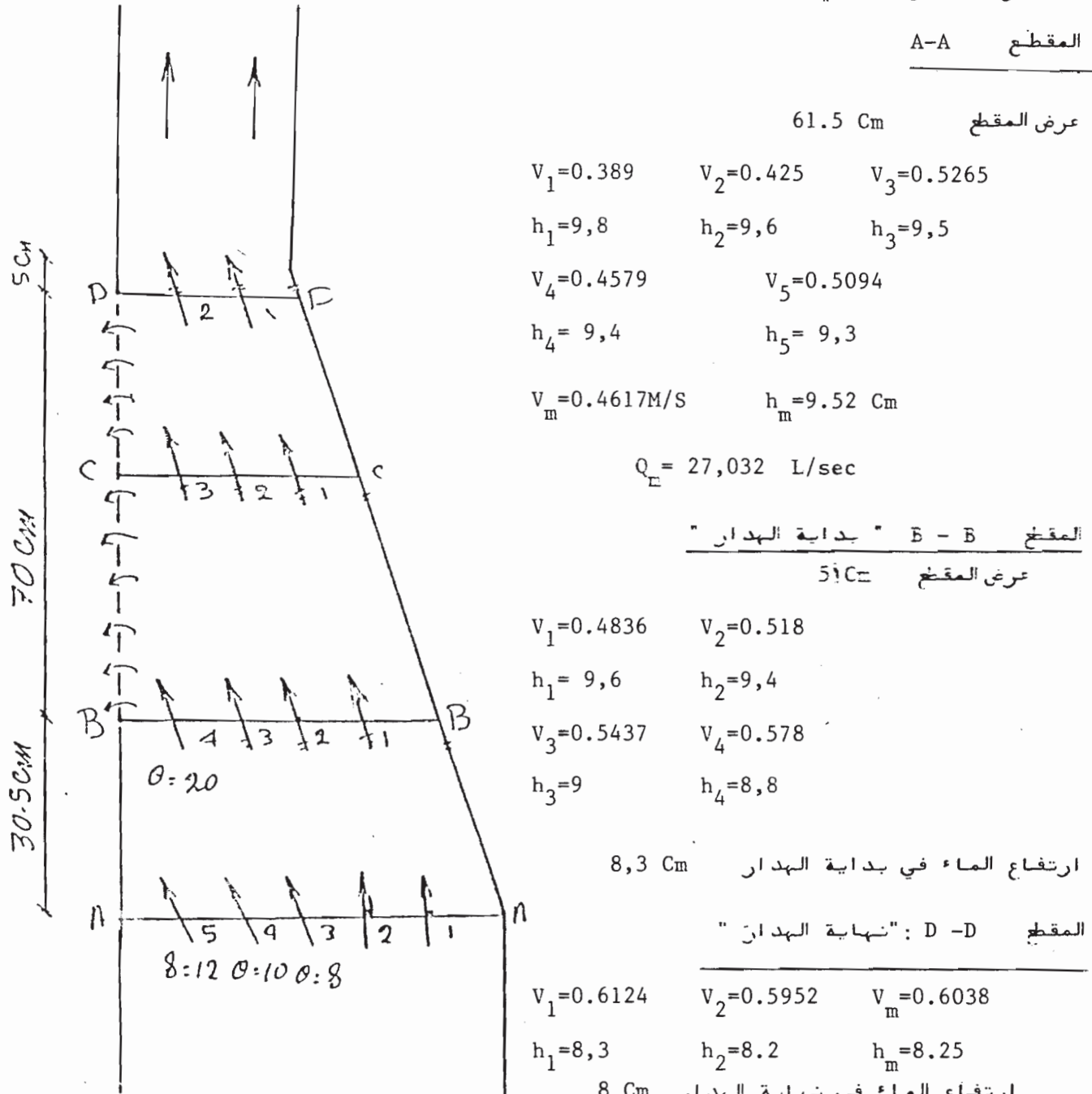
$$Q_m = 10.86 \text{ L/S}$$

$Q = 16,3 \text{ L/S}$  فوق الهدار



"جريان فوق حرج"

طول الهدار الجانبي 70Cm



نهاية القناة :

عرض المقطع 25 Cm

$V_m = 0.6896$        $h_m = 7 \text{ Cm}$        $Q_m = 12,06$  للهدار  $Q = 14,94 \text{ L/S}$

"جريان فوق حرج"

طول الهدار 100Cm وارتفاع العتبة 3.75

: A - A المقطع

$$V_1 = 0.4235 \quad V_2 = 0.475 \quad V_3 = 0.5094$$

$$h_1 = 9.5 \quad h_2 = 9.4 \quad h_3 = 9.3$$

$$V_4 = 0.4836 \quad V_5 = 0.4922$$

$$h_4 = 9.1 \quad h_5 = 9$$

$$V_m = 0.4767 \quad h_m = 9.26 \quad Q_m = 27.1 \text{ L/S}$$

"المقطع B-B" بداية الهدار

$$V_1 = 0.5008 \quad V_2 = 0.5437 \quad V_3 = 0.5525$$

$$h_1 = 9 \quad h_2 = 8.9 \quad h_3 = 8.8$$

$$V_4 = 0.6124 \quad h_4 = 8.6$$

ارتفاع الماء في بدابة الهدار

"المقطع C-C" منتصف الهدار

$$V_1 = 0.6553 \quad V_2 = 0.6639$$

$$h_1 = 8.3 \quad h_2 = 8$$

$$V_3 = 0.6639 \quad h_3 = 7.9$$

"المقطع D-D" عند بداية القناة :

$$V_1 = 0.7154 \quad V_2 = 0.7325$$

$$h_1 = 7.6 \quad h_2 = 7.4$$

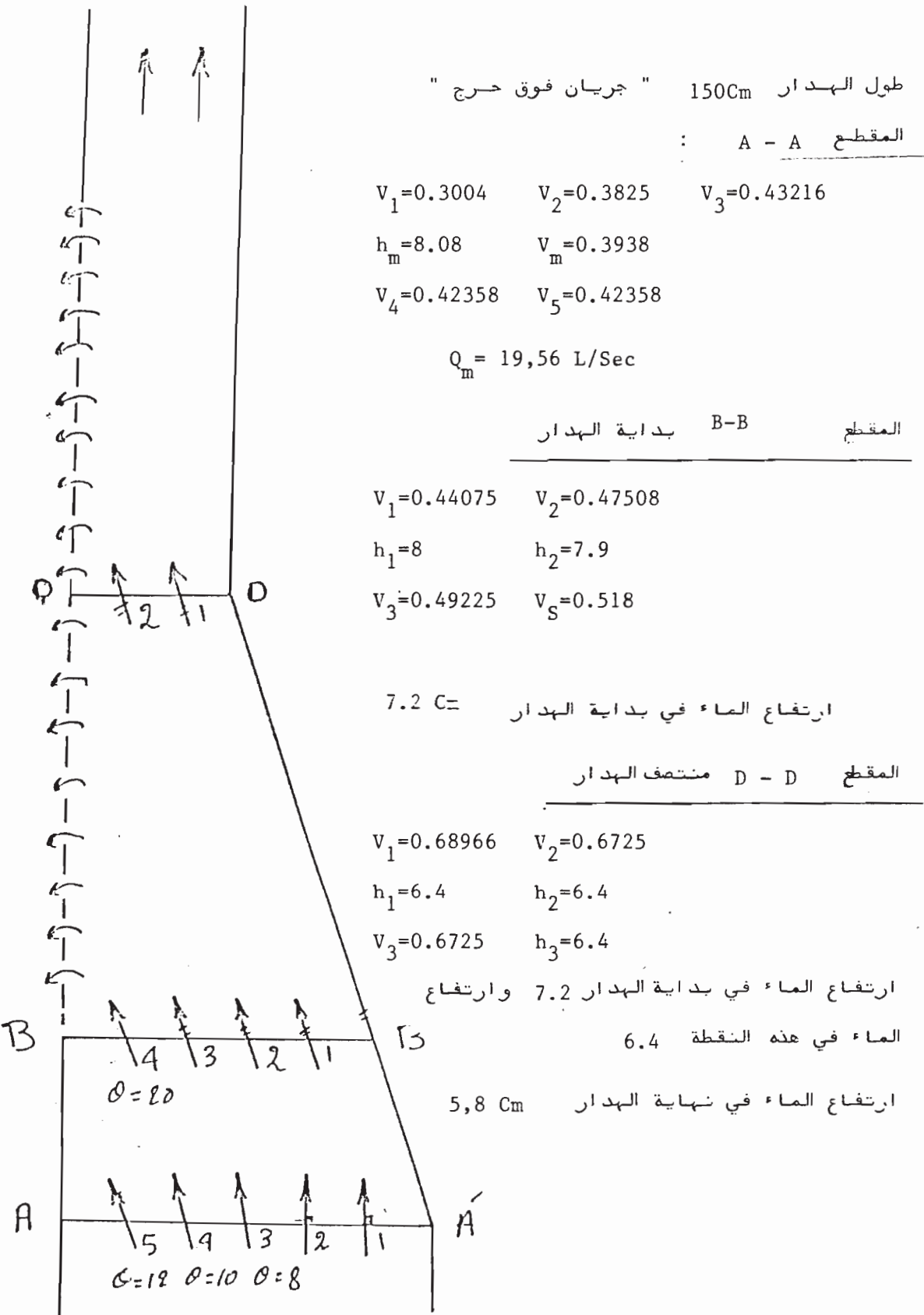
ارتفاع الماء في نهاية الهدار

"المقطع عند نهاية القناة :

$$V_m = 0.6724 \quad h_m = 6.766$$

$$Q = 11.37 \text{ L/S}$$

• المادة فوق الهدار  $Q = 15.77 \text{ L/S}$



قيست السرعة والارتفاع بعد مسافة تعادل الى عشرين مرة القطر الهيدروليكي فكانت السرعة المتوسطة والارتفاع المتوسط كما يلي :

$$V_m = 0.60383 \quad h_m = 6\text{cm}$$
$$Q_m = 9,05 \text{ L/sec}$$

القراءة المادة فوق الهدار الجانبي  
 $Q = 10.51 \text{ L/Sec}$

ملاحظة هامة : المجال الفعال للهدار الجانبي في هذه الحالة " جريان فوق حرج " يقدر بـ 120 cm ابتداء من النقطة B وهذا موضح بالصورة المرفقة بتحليل النتائج .

" جريان تحت حرج " : تجربة (١١)  $Fr < 1$

طول الهدار 70Cm ارتفاع العتبة 3.75

المقطع في بداية الهدار بعد عتبات التوزيع :

$$V_1 = 0.5095 \quad V_2 = 0.4605 \quad V_3 = 0.5437 \quad V_4 = 0.492 \quad V_5 = 0.406$$

$$h_1 = 8.25 \quad h_2 = 8.1 \quad h_3 = 8.5 \quad h_4 = 8.5 \quad h_5 = 8.75$$

$$V_m = 0.4853 \quad h_m = 8.42 \quad Q_m = 25.134 \text{ L/S}$$

ارتفاع الماء في بداية الهدار 8.2

ارتفاع الماء في نهاية الهدار 8.9

المقطع في نهاية قناة جانبية

$$V_1 = 0.69825 \quad V_2 = 0.6553 \quad V_3 = 0.6725$$

$$h_1 = 6.65 \quad h_2 = 6.7 \quad h_3 = 6.75$$

$$V_m = 0.67536 \quad h_m = 6.7 \quad Q_m = 11.31$$

القزارة العمارنة فوق المفيض الجانبي  $Q = 13.82 \text{ L/S}$

ملاحظة : يبدأ الهدار الجانبي بعد النواة مباشرة

"جريان تحت حرج"

( 2 ) تجربة

طول الهدار 100 cm

$$V_1 = 0.596$$

$$V_2 = 0.466$$

$$V_3 = 0.5437$$

$$V_4 = 0.5137$$

$$h_1 = 8.25$$

$$h_2 = 8.15$$

$$h_3 = 8.25$$

$$h_4 = 8$$

$$V_s = 0.4579$$

$$h_s = 8$$

$$h_m = 8.13$$

$$V_m = 0.5102$$

$$Q_m = 25,51 \text{ L/S}$$

$$7,4 \text{ cm}$$

$$8.2 \text{ cm}$$

$$\text{ارتفاع الماء في بداية الهدار}$$

$$\text{ارتفاع الماء في نهاية الهدار}$$

المقطع في نهاية قناء بانياس :

$$V_1 = 0.64675$$

$$V_2 = 0.5952$$

$$V_3 = 0.62958$$

$$h_1 = 7,05$$

$$h_2 = 7,1$$

$$h_3 = 7$$

$$V_m = 0.6238$$

$$h_m = 7,05$$

$$Q_m = 10,99$$

$Q = 14.52 \text{ L/S}$  الغزارة المارة فوق المفيض الجانبي

تجربة ( 3 ) طول الهدار

140 cm

المقطع قبل الهدار الجانبي :

$$V_1 = 0.586$$

$$V_2 = 0.4537$$

$$V_3 = 0.578$$

$$h_1 = 7,8$$

$$h_2 = 7,8$$

$$h_3 = 7,5$$

$$V_4 = 0.586$$

$$V_5 = 0.513$$

$$h_5 = 7,8$$

$$h_4 = 7,65$$

$$h_m = 7,71$$

$$V_m = 0.542$$

$$Q_m = 25.85 \text{ L/S}$$

ارتفاع الماء في بداية الهدار 6,9 cm

ارتفاع الماء في نهاية الهدار 7,1 cm

المقطع في نهاية قناء بانياس

$$V_1 = 0.6896$$

$$V_2 = 0.6896$$

$$V_3 = 0.655$$

$$h_1 = 6.2$$

$$h_2 = 6.2$$

$$h_3 = 6$$

$$V_m = 0.678$$

$$h_m = 6,133$$

$$Q_m = 10,397$$

$Q = 15,45 \text{ L/S}$  الغزارة المارة فوق عتبة المفيض

( ٤ ) تجربة

طول الهدار 120 Cm

المقطع قبل الهدار الجانبي :

$$v_1 = 0.475$$

$$v_2 = 0.5695$$

$$v_3 = 0.5866$$

$$v_4 = 0.518$$

$$h_1 = 8$$

$$h_2 = 7,9$$

$$h_3 = 7,8$$

$$h_4 = 8$$

$$v_m = 0.5471$$

$$h_m = 7.92$$

$$Q_m = 26.65$$

ارتفاع الماء في بداية الهدار 7,1 Cm

ارتفاع الماء في نهاية الهدار 7,8 Cm

المقطع بعد الهدار الجانبي :

$$v_1 = 0.6295$$

$$v_2 = 0.6553$$

$$v_3 = 0.664$$

$$v_m = 0.6496$$

$$h_1 = 6.8$$

$$h_2 = 6.7$$

$$h_3 = 6.8$$

$$h_m = 6.766$$

$$Q_m = 10.98$$

$$Q_{\text{الهدار}} = 15,67$$

HYDRAULIC STUDY OF SIDE WEIR WHICH HAS  
NARROWING IN THE FLOW DIRECTION .

The subject of this paper is studijeng of side weir model which includes narrowing in its path in the diraction of flow . This model represents a distributer on Barad piver (Benyes Distributer ).

The paper includes the following :

- 1- Discrpition of the model
- 2- The Eguctions used for the studing of the side weir and its ability for the model .
- 3- Analysing the results .

المراجع  
كتب الكتب  
كتاب أعمال السـي ·  
الدكتور المصطفى / اسعد الكنج / مطبوعات جامعة تشرين ١٩٨١  
2- П.Г. КИСЕЛЕВ . . . . . Справочник по гидравлическим расчетам  
"Энергия" , Москва 1974 г.  
3- Н. Н . РОЗАНОВ. . . . . Гидротехнические сооружения.  
"Москва" Агропромиздат- 1985 г.  
4- HENDER SON . OPEN CHANNEL FLOW .